



การวัดปริมาณรังสีเอกซ์

จากการตรวจวิจัย และแนวทางการใช้รังสีอย่างเหมาะสม



สำนักพิมพ์มหาวิทยาลัยนเรศวร

Naresuan University Publishing House

www.nupress.grad.nu.ac.th

ข้อมูลทางบรรณานุกรมของสำนักหอสมุดแห่งชาติ

National Library of Thailand Cataloging in Publication Data

ศุภวิทย์ สุขเพ็ง

การวัดปริมาณรังสีเอกซ์จากการตรวจวินิจฉัยและแนวทางการใช้รังสีอย่างเหมาะสม-- พิษณุโลก:
สำนักพิมพ์มหาวิทยาลัยนเรศวร, 2559.

198 หน้า.

1. รังสีเอกซ์. 2. รังสีเอกซ์--การวัด. I. ชื่อเรื่อง.

539.7222

ISBN 978-616-7902-59-3

สพน. 015

การวัดปริมาณรังสีเอกซ์จากการตรวจวินิจฉัยและแนวทางการใช้รังสีอย่างเหมาะสม

ศุภวิทย์ สุขเพ็ง



สรุวนลิขสิทธิ์โดยสำนักพิมพ์มหาวิทยาลัยนเรศวร

พิมพ์ครั้งที่ 1 มีนาคม พ.ศ. 2559 จำนวนพิมพ์ 500 เล่ม ราคา 285 บาท

การผลิตและการเลือกหนังสือเล่นนี้ไว้รู้ปะเปบได้ทั้งสิ้น

ต้องได้รับอนุญาตเป็นลายลักษณ์อักษรจากสำนักพิมพ์มหาวิทยาลัยนเรศวร

ผู้จัดพิมพ์ สำนักพิมพ์มหาวิทยาลัยนเรศวร

มีว้างจำหน่ายที่ 1. ศูนย์หนังสือแห่งมหาวิทยาลัย อาคารวิทยาเขต ชั้น 14 ซอยจุฬาลงกรณ์ 64 ถนนพญาไท แขวงวังใหม่
เขตปทุมวัน กรุงเทพฯ 10330

สาขา ศาลาพระเกี้ยว กรุงเทพฯ โทร. 0-2218-7000-3

สยามสแควร์ กรุงเทพฯ โทร. 0-2218-9881, 0-2255-4433

มหาวิทยาลัยนเรศวร จังหวัดพิษณุโลก โทร. 0-5526-0162-5

มหาวิทยาลัยเทคโนโลยีสุรนารี จังหวัดนครราชสีมา โทร. 044-216131-2

มหาวิทยาลัยบูรพา จังหวัดชลบุรี โทร. 0-3839-4855-9

โรงเรียนนายร้อยพระจุลจอมเกล้า (ร.ร.จ.ป.) จังหวัดศรีสะเกษ โทร. 037-393-023, 037-393-036

จัตุรัสจามจุรี กรุงเทพฯ โทร. 0-2160-5301

รัตนโกสินทร์ จังหวัดนนทบุรี โทร. 0-2950-5408-9

มหาวิทยาลัยพะเยา โทร. 0-5446-6799, 0-5446-6800

มหาวิทยาลัยราชภัฏเชียงใหม่ โทร. 0-2218-3979

2. เสียงทิพย์บุ๊คเข็นเตอร์ 108/3-5 ถนนเอกาทรสุร ตำบลในเมือง อ่าเภอเมืองพิษณุโลก จังหวัดพิษณุโลก 65000
โทร. 0-5525-8862

สาขา มหาวิทยาลัยนเรศวร อาคารวันวู้ดเมือง จังหวัดพิษณุโลก โทร. 0-5526-1616

ศูนย์การเรียนรู้พัฒนาเทคโนโลยีสารสนเทศและการสื่อสารเทศบาลนครพิษณุโลก ถนนนุนพิเรนทร์
จังหวัดพิษณุโลก โทร. 084-814-7800

3. ศูนย์หนังสือมหาวิทยาลัยเกษตรศาสตร์ อาคารวิทยบริการ มหาวิทยาลัยเกษตรศาสตร์ 50 ถนนรามวงศ์วาน
แขวงลาดยาว เขตจตุจักร กรุงเทพฯ 10900 โทร. 0-2579-0113

4. ศูนย์หนังสือมหาวิทยาลัยธรรมศาสตร์ อาคารโภนประเสริฐ ชั้น 1 มหาวิทยาลัยธรรมศาสตร์ ถนนพหลโย?option
แขวงพระบรมมหาราชวัง เขตพระนคร กรุงเทพฯ 10200 โทร. 0-2613-3899, 0-2623-6493

สาขา ศูนย์หนังสือมหาวิทยาลัยเชียงใหม่ จังหวัดเชียงใหม่ โทร. 0-5394-4990-1

ศูนย์หนังสือมหาวิทยาลัยสงขลานครินทร์ จังหวัดสงขลา โทร. 0-7428-2980, 0-74282981

5. ศูนย์หนังสือมหาวิทยาลัยขอนแก่น 123 หมู่ 16 ถนนมิตรภาพ ตำบลในเมือง อ่าเภอเมือง จังหวัดขอนแก่น 40000
โทร. 0-4320-2842

กองบรรณาธิการ กองบรรณาธิการจัดทำเอกสารสิ่งพิมพ์ทางวิชาการของสำนักพิมพ์มหาวิทยาลัยนเรศวร

ออกแบบปก สรัญ แสงยืนพันธ์ Image by freepik.com

พิมพ์ที่ รัตนสุวรรณการพิมพ์ 3 30-31 ถนนพญาไท จำกัดพิษณุโลก 65000 โทร. 0-5525-8101

คำนำ

“As Low As Reasonably Achievable” การนำรังสีมาใช้ทางการแพทย์ไม่ว่าจะด้วยวัตถุประสงค์เพื่อการวินิจฉัยหรือการรักษาที่ตามผู้ปฏิบัติงานควรใช้รังสีให้น้อยที่สุดแต่เกิดประสิทธิผลสูงที่สุด ทั้งนี้เพื่อจำกัดปริมาณรังสีที่ร่างกายได้รับและลดความเสี่ยงที่เกิดขึ้นจากการได้รับรังสี เพราะรังสีสามารถถูกอ้าให้เกิดพยาธิสภาพทั้งในระยะสั้นและระยะยาว ซ้ำและเร็ว ซึ่งนอกจากจะเกิดขึ้นกับร่างกายของผู้ที่ได้รับรังสีแล้วผลบางอย่างอาจสามารถสืบทอดทางพันธุกรรม การวัดปริมาณรังสีเป็นวิธีการที่จะทำให้ทราบถึงระดับปริมาณรังสีที่ร่างกายของผู้ป่วยและผู้ปฏิบัติงานได้รับ นำไปสู่การประเมินความเสี่ยงและหาแนวทางในการใช้รังสีอย่างเหมาะสม

หากจะกล่าวไปแล้วนั้น วิธีการใช้รังสีได้อย่างเหมาะสมเป็นหัวใจศาสตร์และศิลป์พระต้องมีความรู้พื้นฐานทางพิสิกสรังสีระดับอะตอมจนถึงทักษะการปฏิบัติจริงและพระเครื่องว่าความรู้ และความเข้าใจอย่างถ่องแท้จะนำไปสู่การปฏิบัติที่มีประสิทธิภาพ หนังสือ “การวัดปริมาณรังสีเอกซ์จากการตรวจวินิจฉัยและแนวทางการใช้รังสีอย่างเหมาะสม” จึงจัดทำขึ้น มีจุดมุ่งหมายหลักเพื่อให้นิสิตนักศึกษารังสีเทคนิคและสาขาที่เกี่ยวข้อง ตลอดจนนักรังสีเทคนิค และผู้สนใจ สามารถใช้เพื่อศึกษา หรือทบทวนความรู้ หนังสือเล่มนี้ประกอบด้วยเนื้อหาทั้งหมด 9 บท โดยเน้นการใช้รังสีเอกซ์ เพื่อการวินิจฉัย มีการสอนแทรกประสบการณ์ตรงที่เกี่ยวข้องจากผู้แต่ง เนื้อหาในเล่มประกอบด้วย พิสิกสรังสีพื้นฐาน ความรู้เบื้องต้นเกี่ยวกับรังสีเอกซ์ และอันตรกิริยาที่เกิดขึ้นกับตัวกล้อง ซึ่งเป็นความรู้พื้นฐานที่สำคัญของการวัดปริมาณรังสี มีการอธิบายถึงความรู้เบื้องต้นของผลทางชีววิทยาอันเกิดจากการได้รับรังสี ทั้งนี้เพื่อนำไปสู่ความสำคัญของการจำกัดปริมาณรังสีที่ร่างกายได้รับ ความรู้เกี่ยวกับหน่วยและปริมาณรังสีต่างๆ ที่เกี่ยวข้องกับการใช้รังสี ตลอดจนวิธีการวัดและประเมินผลการได้รับรังสี ด้วยวิธีการต่างๆ และเครื่องมือที่ใช้ในการวัดปริมาณรังสี ก็ได้ถูกเรียบเรียงไว้ในหนังสือเล่มนี้

อย่างไรก็ดี คำแนะนำและค่าแก้ต่างๆ เกี่ยวกับการคำนวณและประเมินค่าปริมาณรังสี ในหนังสือเล่มนี้ อ้างอิงมาจากรายงานของ ICRP และ AAPM ซึ่งข้อมูลเหล่านี้อาจมีการปรับปรุงและเปลี่ยนแปลงได้ ดังนั้นผู้อ่านจึงควรศึกษาเพิ่มเติมจากรายงานขององค์กรเหล่านี้ซึ่งจะเผยแพร่ผ่านเว็บไซต์อย่างเป็นทางการด้วย

ศุภวิทย์ สุขเพ็ง

กิตติกรรมประกาศ

ขอขอบคุณ ภาควิชารังสีเทคนิค คณะสหเวชศาสตร์ มหาวิทยาลัยนเรศวร ศาสตราจารย์เกียรติคุณ ทวีสุข บรรณล้วน คณบดีคณะสหเวชศาสตร์ มหาวิทยาลัยนเรศวร ขอบคุณ คุณศิริวรรณ ศิริอังคณาภุล คุณสราราธ รนชวนชัย และคุณนพเก้า เรืองสมบัติ ที่กรุณาเป็นแบบ範例 การใช้ อุปกรณ์ป้องกันอันตรายจากรังสีชนิดต่างๆ กราบขอบคุณที่ปรึกษาด้านเนื้อหาทุกท่าน รองศาสตราจารย์ มูลดี ตั้มวิรุพห์ คณะแพทยศาสตร์ ศิริราชพยาบาล, Dr Colin J Martin, Department of Clinical Physics, University of Glasgow, UK, Dr Gurpreet Singh, Health Physics, Gartnavel Royal Hospital, UK และอาจารย์ชิษณุพงศ์ บุตรดี ภาควิชารังสีเทคนิค คณะสหเวชศาสตร์ มหาวิทยาลัยนเรศวร ขอบคุณรองศาสตราจารย์ มาลินี ธนาธุณ ที่ปรึกษาด้านภาษา คุณนรินทร์ เอี่ยมมงคล และคุณเรณู สุขเพ็ง ที่กรุณาช่วยพิมพ์และตรวจสอบต้นฉบับ คุณรนต์นันท์ พิชญวิวัฒน์ สำหรับภาพประกอบ

ศุภวิญญา สุขเพ็ง



สารบัญ

หน้า

บทที่ 1 พื้นฐานทางพิสิกส์ของรังสีเอกซ์	1
การแบ่งชนิดของรังสี	2
ปริมาณที่ใช้อธิบายสถานะรังสี	6
การผลิตรังสีเอกซ์	7
รังสีที่ออกจากหลอดเอกซเรย์	10
บรรณานุกรม	14
คำถ้ามท้ายบท	14
บทที่ 2 รังสีชีววิทยาพื้นฐาน	15
หลักการใช้รังสีทางการแพทย์	16
ผลทางชีววิทยาอันเนื่องมาจากรังสี	16
ปัจจัยที่มีผลต่อผลทางชีววิทยาของรังสี	17
ผลของรังสีระดับโนเบลกุล เชลต์และเนื้อยื่อ	22
ปริมาณรังสีถึงตาย	29
ผลของรังสีที่เกิดข้า	30
บรรณานุกรม	32
คำถ้ามท้ายบท	33
บทที่ 3 อันตรกิริยาระหว่างไฟตอนกับตัวกลาง	35
การลดความเข้มของรังสี	35
อันตรกิริยาของรังสีเอกซ์กับตัวกลาง	39
บรรณานุกรม	48
คำถ้ามท้ายบท	48

หน้า

บทที่ 4 พื้นฐานของหน่วยและปริมาณทางรังสี.....	49
พัฒนาที่ถูกถ่ายทอดและดูดกลืนในตัวกลาง	50
ปริมาณทางรังสี	53
บรรณานุกรม	64
คำนำท้ายบท	65
บทที่ 5 เครื่องมือวัดปริมาณรังสีเอกสารจากการตรวจวินิจฉัย	67
เครื่องมือวัดปริมาณรังสีที่มีการแสดงผลเป็น pulse.....	68
เครื่องวัดปริมาณรังสีที่มีการแสดงผลเป็นปริมาณรังสีสะสม	81
บรรณานุกรม	91
คำนำท้ายบท	92
บทที่ 6 การวัดปริมาณรังสีจากการถ่ายภาพเอกซเรย์	93
บทนำการตรวจวัดปริมาณรังสี	94
ปริมาณรังสีที่ผู้ป่วยได้รับจากการถ่ายภาพเอกซเรย์ทั่วไปและฟลูออร์โรสโคปี	98
ปริมาณรังสีที่ผู้ป่วยได้รับจากการถ่ายภาพเอกซเรย์เต้านม	104
บรรณานุกรม	111
คำนำท้ายบท	112
บทที่ 7 การวัดปริมาณรังสีจากการตรวจวินิจฉัยด้วยเครื่องเอกซเรย์คอมพิวเตอร์	113
Computed Tomography Air Kerma Index (CTAKI)	114
Cumulative Dose	119
ปริมาณรังสีจากการตรวจวินิจฉัยสำหรับผู้ป่วย	121
บรรณานุกรม	126
คำนำท้ายบท	127

บทที่ 8 การประเมินความเสี่ยงจากการได้รับรังสีและหลักเกณฑ์การป้องกันรังสี	129
องค์กรที่ให้คำแนะนำด้านการป้องกันอันตรายจากรังสี	130
ปริมาณรังสีที่เกี่ยวข้องกับการป้องกันอันตรายจากรังสี	132
ความเสี่ยงจากการได้รับรังสี	136
การทำหนดค่า diagnostic reference level (DRL)	139
หลักการใช้รังสีตามข้อแนะนำของ NCRP และ ICRP	140
ขีดจำกัดปริมาณรังสีของผู้ปฏิบัติงานและสาราระณณ	141
บรรณานุกรม	143
คำถามท้ายบท	144
บทที่ 9 การใช้ปริมาณรังสีอย่างเหมาะสมสำหรับการตรวจวินิจฉัย	145
ปัจจัยที่มีผลต่อปริมาณรังสีที่ผู้ป่วยได้รับจากการถ่ายภาพเอกซเรย์	145
เทคนิคการลดปริมาณรังสีให้แก่ผู้ป่วย	150
การใช้รังสีอย่างเหมาะสมสำหรับการตรวจเอกซเรย์คอมพิวเตอร์	152
การใช้รังสีอย่างเหมาะสมสำหรับฟลูออโรสโคป	155
แนวทางการลดปริมาณรังสีในผู้ป่วยเด็ก	156
การใช้รังสีในหญิงตั้งครรภ์หรือหญิงในวัยเจริญพันธุ	156
บรรณานุกรม	159
คำถามท้ายบท	160
ภาคผนวก ก ปัจจัยรังสีระเจิงย้อนกลับ	161
ภาคผนวก ข การหาค่าความหนาครึ่งค่า (HVL) ของเครื่องเอกซเรย์เต้านม	162
ภาคผนวก ค ค่าแก้สำหรับการคำนวน MGD	164
ภาคผนวก ง ค่าแก้สำหรับคำนวน SSDE	168
ภาคผนวก จ ค่าคงที่ที่เกี่ยวข้องกับฟลูอิซิรั่งสี	170
ภาคผนวก ฉ การแปลงค่าและหน่วยของปริมาณทางรังสี	171
ดัชนี	172

สารบัญตาราง

หน้า

ตารางที่ 1.1 รังสีที่แผ่ออกจากตันกำเนิดในรูปแบบคลื่นแม่เหล็กไฟฟ้า.....	2
ตารางที่ 2.1 เปรียบเทียบความแตกต่างระหว่างรังสีที่มีแหล่งอิทธิพลต่ำและสูง	19
ตารางที่ 2.2 สรุปผลทางชีววิทยาของรังสีระดับต่าง ๆ	22
ตารางที่ 2.3 สักษณะและตัวอย่างของเซลล์แต่ละชนิดที่มีความไวต่อรังสีแตกต่างกัน	25
ตารางที่ 2.4 ผลขั้นตอนของผิวนัง ขึดเริ่มเปลี่ยนของการเกิดผลและระยะเวลา ที่เกิดอาการหลังการไดรรับรังสี	29
ตารางที่ 3.1 โอกาสของการเกิดอันตรภัยร้ายแรงต่าง ๆ ตามพัฒนาของโพตอน ($h\nu$) และเลขอะตอม (Z)	47
ตารางที่ 4.1 สรุปหน่วยและปริมาณทางรังสี	63
ตารางที่ 5.1 ไอออนในเชื้อเพลิงเบอร์นินิด cavity ที่ใช้งานทางรังสีวินิจฉัย	76
ตารางที่ 5.2 พลังงานเดียวของรังสีที่ใช้งานในปัจจุบันและช่วงของปริมาณรังสีที่เหมาะสม สำหรับการใช้งาน	85
ตารางที่ 5.3 เปรียบเทียบท้อดีและห้อด้อยของเครื่องมือวัดรังสี	90
ตารางที่ 6.1 สรุปปริมาณทางรังสีที่ใช้ในงานรังสีวินิจฉัย	97
ตารางที่ 6.2 ขนาดของเต้านม ค่า MGD ต่อฟิล์มและต่อผู้ป่วย 1 ราย	110
ตารางที่ 7.1 แสดงผลการวัดค่า CTAKI ที่ผิวและตรงกลางหุ้นจำลองศีรษะและลำตัว จากการสแกนแบบ axial	118
ตารางที่ 8.1 ค่าปรับเทียบตามชนิดรังสี	133
ตารางที่ 8.2 แสดงค่าปรับเทียบตามชนิดเนื้อเยื่อสำหรับใช้คำนวณปริมาณรังสียังผล	135
ตารางที่ 8.3 ค่าแก้ที่ใช้ในการคำนวณปริมาณรังสียังผลจาก ESAK และ AKAP จากการถ่ายภาพเอกซเรย์โดยอาศัยค่าปรับเทียบตามชนิดเนื้อเยื่อ	
จากการรายงานของ ICRP ฉบับที่ 103	138
ตารางที่ 8.4 ค่าแก้ที่ใช้ในการคำนวณปริมาณรังสียังผลจาก DLP สำหรับวัยผู้ใหญ่ จากการตรวจเอกซเรย์คอมพิวเตอร์โดยอาศัยค่าปรับเทียบตามชนิดเนื้อเยื่อ	
จากการรายงานของ ICRP ฉบับที่ 103	138

หน้า

ตารางที่ 8.5 ค่า DRL ของ DLP จากการตรวจด้วยเครื่องเอกซเรย์คอมพิวเตอร์ที่กำหนดโดยประเทศ ต่าง ๆ	140
ตารางที่ 8.6 ปริมาณรังสีที่อนุญาตให้ผู้ปฏิบัติงานทางรังสีรับได้ใน 1 ปี.....	142
ตารางที่ 9.1 แสดงค่า HVL ที่ยอมรับได้สำหรับค่าความต่างศักย์ (kVp) ต่างๆ	147
ตารางที่ 9.2 หลักการของระบบ ATCM ของเครื่องเอกซเรย์คอมพิวเตอร์จากบริษัทผู้ผลิตต่าง ๆ	155



สารบัญภาพ

หน้า

ภาพที่ 1.1 การแบ่งชนิดรังสี.....	1
ภาพที่ 1.2 รังสีที่แผ่ออกจากต้นกำเนิดในรูปของแม่เหล็กไฟฟ้าซึ่งเป็นรังสีชนิดก่อไอโอน และไม่ก่อไอโอน.....	4
ภาพที่ 1.3 หลอดผลิตรังสีเอกซ์.....	8
ภาพที่ 1.4 สเปกตรัมของรังสีเอกซ์เมื่อใช้ค่าความต่างศักย์ 150 kV และเป้าหลอดทั้งสตุน.....	11
ภาพที่ 2.1 เปรียบเทียบการเกิดไอโอนตลอดเส้นทางจากการได้รับรังสีแอลอีที (ก) ต่ำและ (ข) สูง.....	19
ภาพที่ 2.2 กราฟแสดงอัตราการลดตายของเซลล์เมื่อได้รับรังสีแอลอีทีสูงและต่ำ.....	20
ภาพที่ 2.3 เปรียบเทียบอัตราการลดตายของเซลล์ในสภาพว่างมีและไม่มีออกซิเจน ใน (ก) รังสีแอลอีทีต่ำ (ข) รังสีแอลอีทีสูง.....	21
ภาพที่ 3.1 การลดความเข้มของรังสีเมื่อจากระบวนการดูดกลืนและการระเจิงรังสี.....	36
ภาพที่ 3.2 แสดงอันตรกิริยานิด Photoelectric Effect.....	40
ภาพที่ 3.3 สัมประสิทธิ์การลดความเข้มรังสีเชิงมวล (μ/ρ) ของตะกั่ว (Pb) บิสมัท (Bi) และดีบุก (Sn) ที่ฟ็อกตันพลังงานต่างๆ	42
ภาพที่ 3.4 แสดงอันตรกิริยานิด Compton Scattering.....	43
ภาพที่ 3.5 แสดงมุมของฟ็อกตันกระเจิง (θ) และอิเล็กตรอนหลุดออกจากอะตอม (ϕ)	44
ภาพที่ 3.6 แสดงอันตรกิริยานิด Pair production.....	47
ภาพที่ 4.1 ภาพจำลองเหตุการณ์เพื่อเปรียบเทียบค่าพลังงานที่ดูดกลืน (energy imparted) พลังงานที่ถ่ายโอนแก่ตัวกลาง (energy transferred) และพลังงานสุทธิที่ถ่ายโอน ให้แก่ตัวกลาง (net energy transferred).....	52
ภาพที่ 4.2 แสดงค่า f factor ของน้ำ กลั่นเนื้อและกระดูก.....	61
ภาพที่ 5.1 แสดงเครื่องมือสำหรับดูรังสีเอกซ์จากการตรวจวินิจฉัย จำแนกตามการแสดงผล ของเครื่องมือ.....	68
ภาพที่ 5.2 ช่วงความต่างศักย์ที่ใช้งานในแซมเบอร์บอร์จุก้าชนิดและสัญญาณไฟฟ้าที่เกิดขึ้น	69
ภาพที่ 5.3 โครงสร้างของไอโอนในเซ็นแซมเบอร์ชนิด free air	72
ภาพที่ 5.4 ความสัมพันธ์ระหว่างความหนาของผนังแซมเบอร์และสัดส่วนการเกิดสัญญาณไฟฟ้า	74
ภาพที่ 5.5 โครงสร้างของแซมเบอร์ชนิดบรรจุก้าช	75

ภาพที่ 5.6 ลักษณะของแฉมเบอร์ชนิด Thimble.....	77
ภาพที่ 5.7 ไอออนในเชื้นแฉมเบอร์รูปแบบต่าง ๆ (ก) ชนิด thimble (ข) ชนิด plane parallel (ค) แฉมเบอร์ยาว 100 มิลลิเมตรสำหรับเอกซเรย์คอมพิวเตอร์ (ง) แฉมเบอร์ยาว 20 มิลลิเมตรสำหรับเอกซเรย์คอมพิวเตอร์ (จ) เครื่องอ่านค่าความแรงของกระแสไฟฟ้า (ฉ) อุปกรณ์อ่านค่าปริมาณรังสีชนิด digitizer และ (ช) AKAP meter	79
ภาพที่ 5.8 ช่องว่างพลังงาน (energy gap) ระหว่างแอบ valence และ แอบ conduction ของ (ก) ฉบุวน และ (ข) สารกึ่งตัวนำ	80
ภาพที่ 5.9 แสดง depletion region เมื่อออยู่ในสภาพที่ไม่มีรังสีจะไม่เกิดกระแสไฟฟ้า	81
ภาพที่ 5.10 (ก) แสดงการดูดกลืนรังสี และ (ข) ปล่อยแสงเมื่อได้รับความร้อน ของเครื่องวัดปริมาณรังสีแบบเทอร์โมถ่วมในสเซนต์	82
ภาพที่ 5.11 การให้ความร้อน และสัญญาณแสงที่เกิดขึ้นจากเครื่องวัดปริมาณรังสี แบบเทอร์โมถ่วมในสเซนต์	83
ภาพที่ 5.12 การฉายรังสีลงบนฟิล์มโดยสอบเทียบค่าปริมาณรังสีจากแฉมเบอร์	86
ภาพที่ 5.13 ฟิล์มเรดิโอลูโคโนิกขนาด 2×2 ตารางเซนติเมตร จำนวน 21 ชิ้น ได้รับรังสีระหว่าง	86
ภาพที่ 5.14 ตัวอย่างกราฟระหว่างปริมาณรังสีกับค่าความด้านฟิล์ม (calibration curve) โดยใช้ฟิล์มภาพໂຄຣມิกรุ่น XR-QA	88
ภาพที่ 6.1 ตำแหน่งของการวัดค่า incident air kerma (IAK) ค่า output ค่า entrance surface air kerma (ESAK) และ ค่า kerma area product (KAP) และระยะทางต่าง ๆ	95
ภาพที่ 6.2 แสดงการวัดปริมาณ AK	99
ภาพที่ 6.3 ระยะทางจากจุดโฟกัสของหลอดเอกซเรย์ถึงแฉมเบอร์ (d) ระยะทางจากจุดโฟกัส [*] ของหลอดเอกซเรย์ถึงส่วนรับภาพ (d_{SID}) ระยะทางจากแฉมเบอร์ถึงพื้นเตียง (d_m) และความหนาอวัยวะส่วนที่ถ่าย (t_p)	101
ภาพที่ 6.4 การวัด IAK ในหุ่นจำลองเต้านมด้วยไอออนในเชื้นแฉมเบอร์ชนิด parallel plate	105
ภาพที่ 7.1 ปริมาณรังสีต่อลดแนวแกน z เพื่อคำนวณหาค่า CTAKI.....	114
ภาพที่ 7.2 หุ่นจำลองวัดค่า CTAKI ส่วนศีรษะและลำตัว	116
ภาพที่ 7.3 การวัดค่า CTAKI ในหุ่นจำลองศีรษะโดยใช้ไอออนในเชื้นแฉมเบอร์ชนิด pencil	117
ภาพที่ 7.4 การเปรียบเทียบการวัดค่า cumulative dose และ CTAKI	119

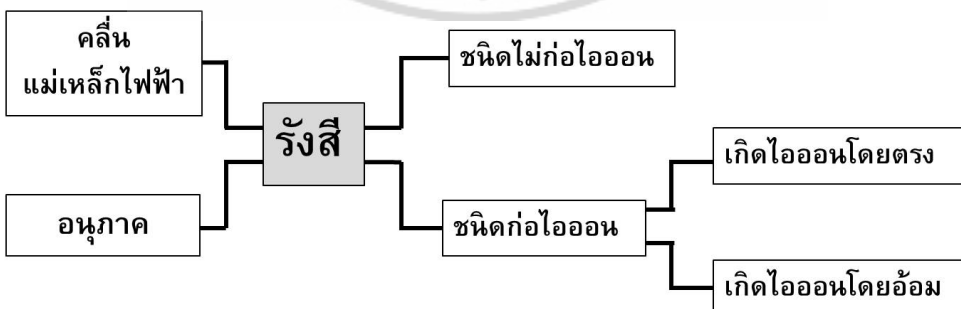
ภาพที่ 7.5 แสดงขอบเขตของระยะทางที่ได้รับรังสีจากการสแกน (irradiated length) ซึ่งมากกว่าส่วนของอวัยวะที่ทำการสแกน (scan length).....	123
ภาพที่ 7.6 ตัวอย่างปริมาณรังสีจากเอกสารโดยคอมพิวเตอร์โดยค่า DLP มากกว่าผลคูณ ของ CTAK _{vol} และระยะทางจากการสแกน	124
ภาพที่ 7.7 ขนาดของลำตัวผู้ป่วยส่วนที่ทำการสแกน (ก) ภาพ SPR ก่อนการสแกน และ(ข) ภาพตัดขวางภายหลังการสแกน	125
ภาพที่ 8.1 ขั้นตอนการกำหนดมาตรฐานเพื่อความปลอดภัยจากการใช้รังสี.....	131
ภาพที่ 9.1 การใช้อุปกรณ์ป้องกันอันตรายจากรังสีแก่อวัยวะสีบพันธุ์	152
ภาพที่ 9.2 แสดงค่ากระแสหลอดที่ใช้ตลอดแนวการสแกนจากการใช้ระบบควบคุมกระแสหลอด อัตโนมัติ	154



บทที่ 1

ผืนฐานการพิสิกรรมของรังสีเอกซ์

รังสี คือ พลังงานที่อยู่ในรูปของคลื่นแม่เหล็กไฟฟ้าหรือนุภาคน ในการทางการแพทย์ ส่วนใหญ่เป็นชนิดที่ทำให้เกิดไออ้อนได้ ดังภาพที่ 1.1 แสดงการแบ่งชนิดรังสี โดยการเกิดไออ้อน หมายถึงการที่รังสีเคลื่อนที่ผ่านเข้าไปในวัตถุแล้วทำให้อะตอมของตัวกลางแตกตัวเป็นประจุไฟฟ้า เกิดผลกระทบต่อกระบวนการทางชีวิทยาภายในร่างกายมนุษย์ได้ ในบทนี้กล่าวถึงความรู้พื้นฐาน ทางพิสิกรรมรังสี การแบ่งประเภทของรังสี รังสีชนิดก่อไออ้อน ปริมาณที่ใช้อิบายสนามรังสี



ภาพที่ 1.1 การแบ่งชนิดรังสี

การแบ่งชนิดของรังสี

รังสีที่แผ่ออกจากตันกำเนิดในรูปแบบคลื่นแม่เหล็กไฟฟ้า

รังสีที่แผ่ออกจากตันกำเนิดในรูปแบบคลื่นแม่เหล็กไฟฟ้า (electromagnetic radiation) คือ คลื่นที่เกิดจากคลื่นไฟฟ้าและคลื่นแม่เหล็กตั้งฉากกันและเคลื่อนที่ไปยังทิศทางเดียวกัน คลื่นแม่เหล็กไฟฟ้าสามารถเดินทางด้วยความเร็วเท่ากับความเร็วแสง สเปกตรัมของคลื่นแม่เหล็กไฟฟ้าประกอบด้วยคลื่นแม่เหล็กไฟฟ้าที่มีความถี่และความยาวคลื่นแตกต่างกัน ครอบคลุมตั้งแต่ คลื่นวิทยุ ไมโครเวฟ อินฟราเรด แสงสว่าง อัลตราไวโอเลต และรังสีเอกซ์ และรังสีแกมมา เป็นต้น ตารางที่ 1.1 แสดงช่วงความยาวคลื่น รวมทั้งประโยชน์จากการใช้งานรังสีชนิดต่าง ๆ ที่แผ่ออกจากตันกำเนิดในรูปแบบคลื่นแม่เหล็กไฟฟ้า

ตารางที่ 1.1 รังสีที่แผ่ออกจากตันกำเนิดในรูปแบบคลื่นแม่เหล็กไฟฟ้า

	ประโยชน์	ช่วงความยาวคลื่น (เมตร)
คลื่นวิทยุ	การส่งคลื่นวิทยุและการส่งสัญญาณ โทรศัพท์ การเดินเรือและเครื่องบิน	มากกว่า 1
ไมโครเวฟ	雷达และการสื่อสารผ่านดาวเทียม เตาอบไมโครเวฟ การสื่อสารทางโทรศัพท์ ทางไกล และการใช้งานทางด้าน การแพทย์ เช่น การรักษาโรคโดยใช้ความ ร้อน	$1 \text{ ถึง } 10^{-3}$
รังสีอินฟราเรด	การสร้างภาพโดยใช้คลื่นความร้อน	$10^{-3} \text{ ถึง } 10^{-6}$
แสงสว่าง	การส่องผ่านในเต้านมและเลเซอร์	$8 \times 10^{-7} \text{ ถึง } 4 \times 10^{-7}$
รังสีอัลตราไวโอเลต	การทำให้ปลดปล่อยเชื้อในอาหาร และเครื่องมือผ้าตัด	$10^{-8} \text{ ถึง } 3 \times 10^{-7}$
รังสีเอกซ์	การสร้างภาพวิวัฒนาภัยในของผู้ป่วย	$10^{-12} \text{ ถึง } 10^{-8}$
รังสีแกมมา		$10^{-14} \text{ ถึง } 10^{-12}$

รังสีที่แผ่ออกจากตันกำเนิดในรูปของอนุภาค

รังสีที่แผ่ออกจากตันกำเนิดในรูปของอนุภาคเกิดจากการสลายตัวของนิวเคลียร์ ก้มมันต์รังสีที่ไม่มีเสถียรภาพ ได้แก่ อนุภาคแอลฟ่าและบีตา เป็นต้น